

Anexo VI – Análise Estatística

Figura I – Categorias morfológicas do conjunto analisado.

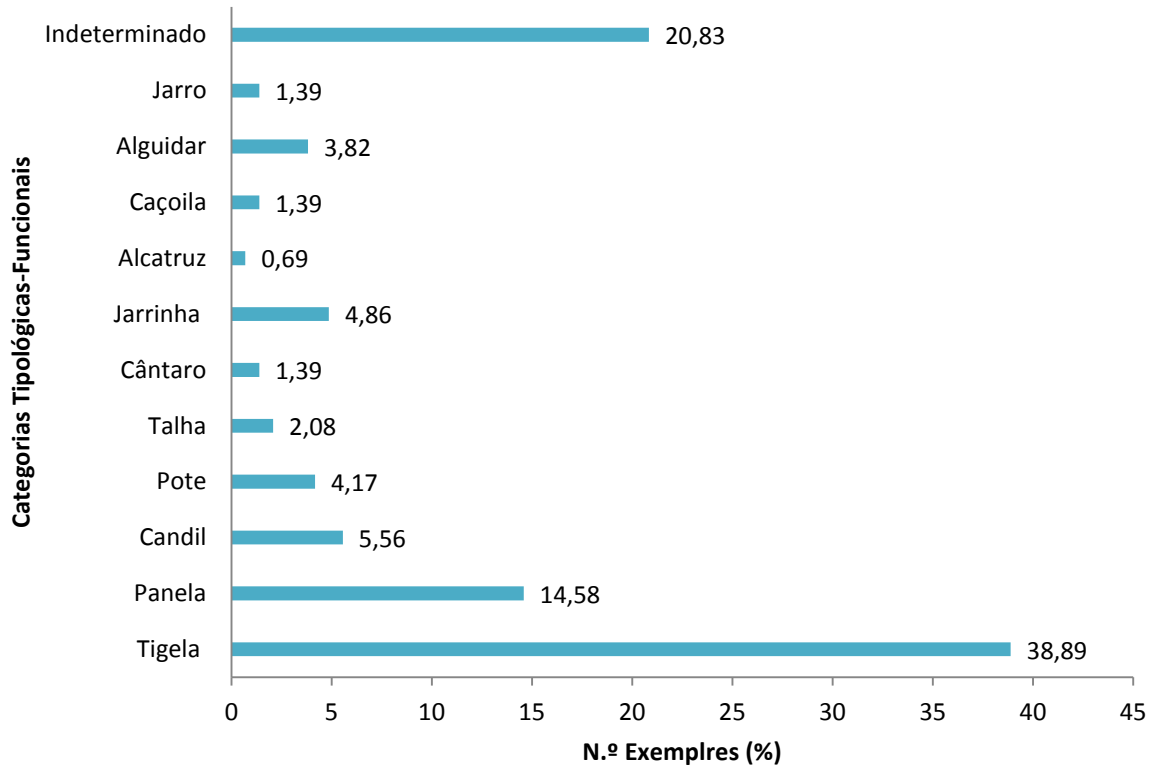


Figura II – Análise da tecnologia cerâmica

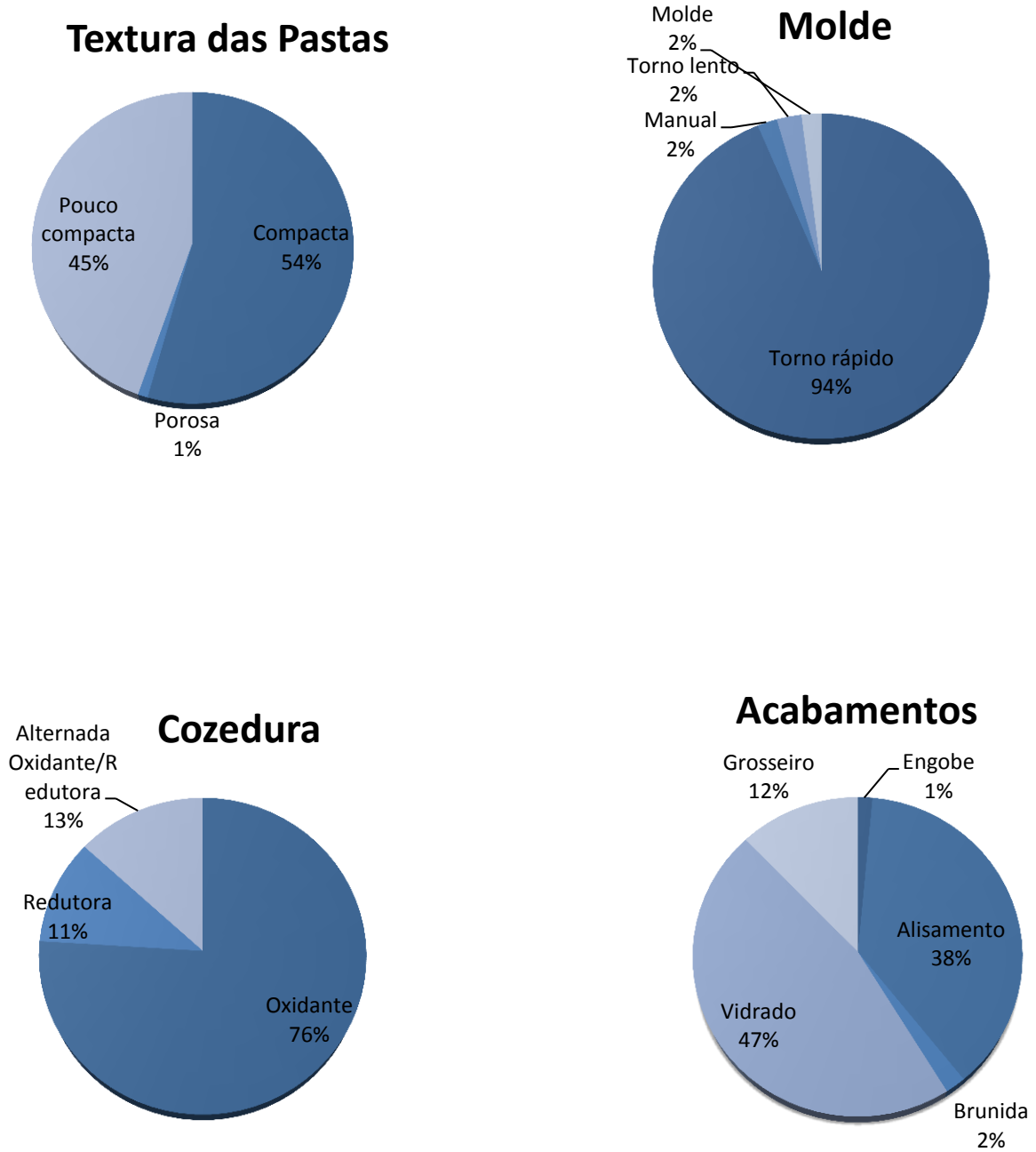


Figura III – Tipos decorativos

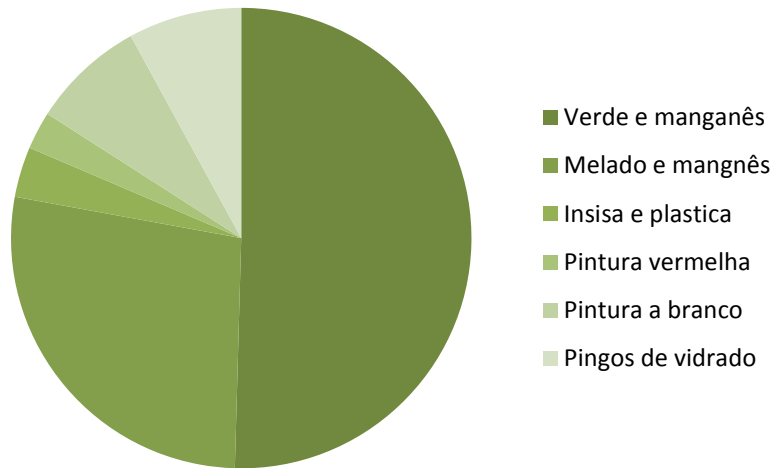


Figura IV – Motivos ornamentais no verde e manganês

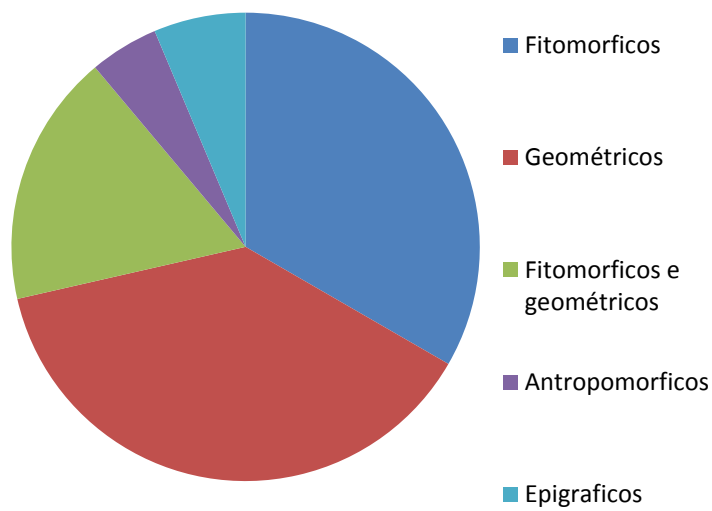


Figura V – Motivos ornamentais no melado e manganês.

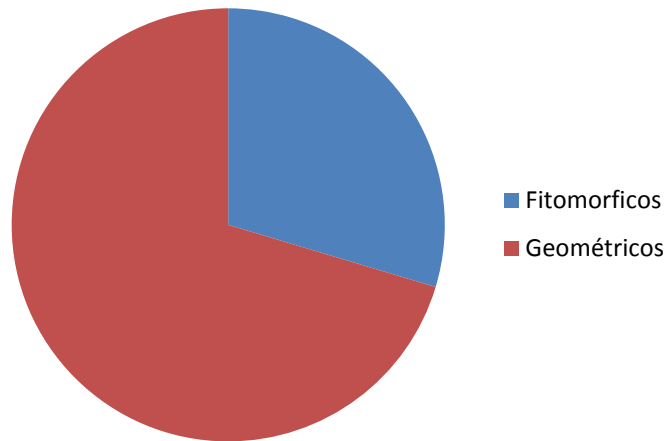


Figura VI – Análise estratigráfica da camada exterior da peça CMCS/ 2001.

Lato 1	Pon to 1	Pon to 2	Pon to 3	Pon to 4	Pon to 5	Lato 2	Pon to 1	Pon to 2	Pon to 3	Pon to 4	Pon to 5
Al₂O₃	2,47	2,49	2,59	2,07	3,05	Al₂O₃	1,82	3,03	3,66	2,06	1,28
CaO	3,93	3,85	4,00	10,59	20,53	CaO	4,16	3,28	5,35	8,44	22,67
Fe₂O₃	1,12	1,06	1,10	1,11	1,58	Fe₂O₃	1,38	0,96	1,54	2,30	0,00
K₂O	1,10	0,99	1,03	2,21	0,48	K₂O	1,06	0,00	0,00	0,00	0,31
MgO	0,91	1,00	1,04	0,57	0,77	MgO	0,62	0,58	0,66	0,71	0,44
MnO	2,56	2,29	2,38	1,18	0,59	MnO	1,91	1,30	3,66	11,32	0,00
Na₂O	1,89	1,80	1,87	1,23	0,40	Na₂O	1,38	1,11	0,00	0,00	0,38
P₂O₅	0,00	0,00	0,00	13,60	21,95	P₂O₅	0,00	0,00	5,46	7,35	21,20
PbO	53,22	46,78	48,59	51,93	38,37	PbO	59,42	60,52	38,51	49,04	50,72
SiO₂	31,33	30,35	31,51	10,43	6,82	SiO₂	27,54	19,38	21,50	8,46	3,00
SnO₂	1,47	9,37	9,74	5,08	0,64	SnO₂	0,70	9,82	19,66	10,32	0,00
SO₂	0,00	0,00	0,00	0,00	0,00	SO₂	0,00	0,00	0,00	0,32	0,00
PbO		46,78	48,59	51,93	38,37	PbO	59,42	60,52	38,51	49,04	50,72
SiO ₂		30,35	31,51	10,43	6,82	SiO ₂	27,54	19,38	21,50	8,46	3,00
Si/P b ratio		0,65	0,65	0,20	0,18	Si/P b ratio	0,46	0,32	0,56	0,17	0,06

Figura VII – Análise estratigráfica da camada exterior da peça CMCS/2001, com elementos de interesse Si, Ca, Pb, Mn, Sn.

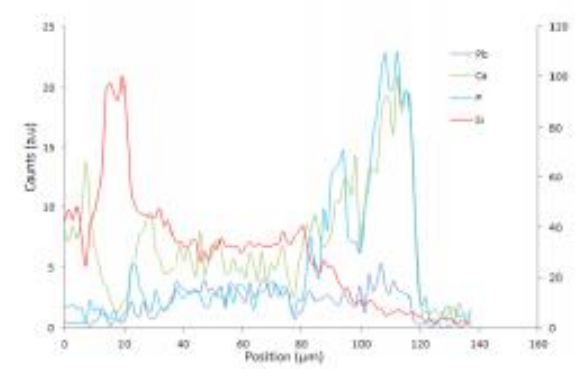
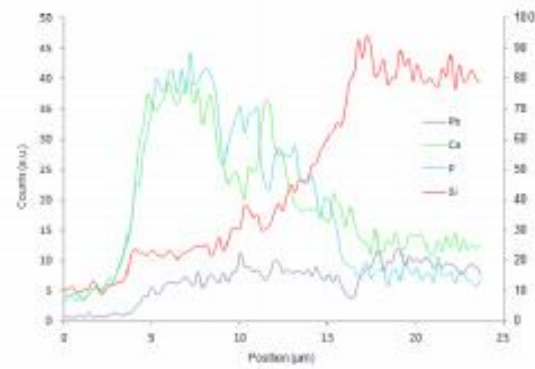
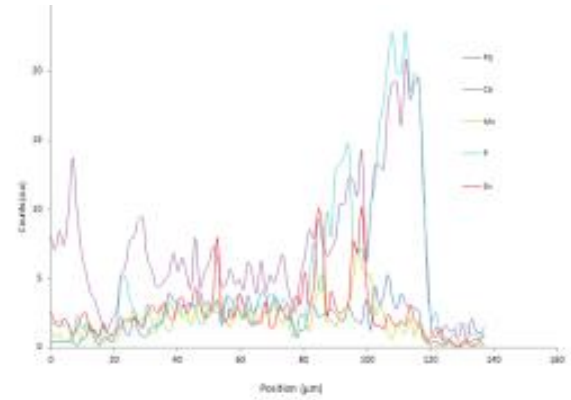
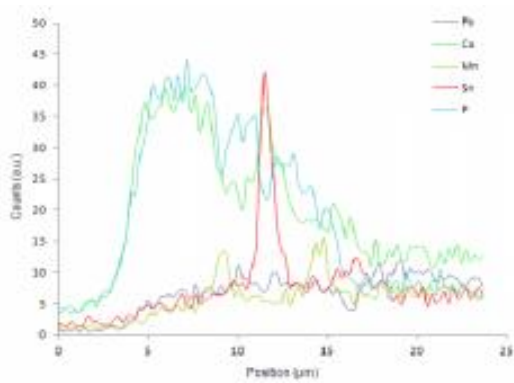


Figura VIII – Curva de calibração obtida no Beta Analytic Inc para material osteológico humano da intervenção arqueológica na Porta de Moura¹.

CALIBRATION OF RADIOCARBON AGE TO CALENDAR YEARS

(Variables: C13/C12=-18.8;lab. mult=1)

Laboratory number: Beta-161013

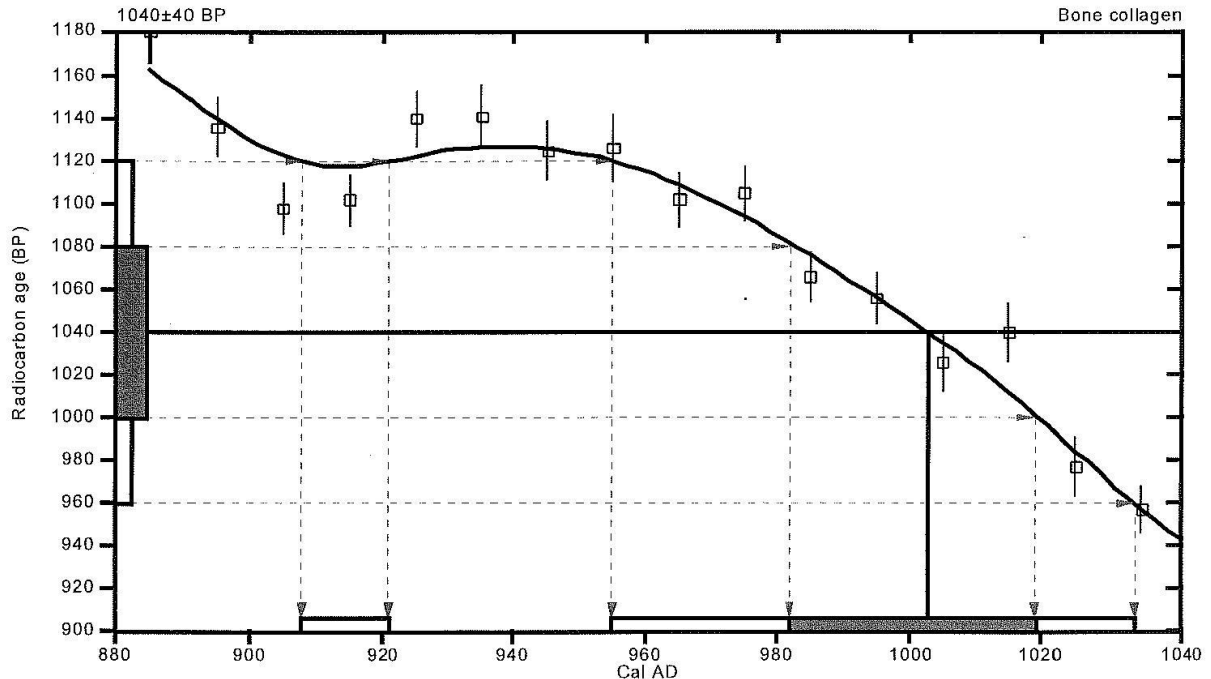
Conventional radiocarbon age: 1040±40 BP

2 Sigma calibrated results: Cal AD 910 to 920 (Cal BP 1040 to 1030) and
(95% probability) Cal AD 960 to 1030 (Cal BP 1000 to 920)

Intercept data

Intercept of radiocarbon age
with calibration curve: Cal AD 1000 (Cal BP 950)

1 Sigma calibrated result: Cal AD 980 to 1020 (Cal BP 970 to 930)



References:

Database used

Calibration Database

Editorial Comment

Stuiver, M., van der Plicht, H., 1998, *Radiocarbon* 40(3), pxi-xiii

INTCAL98 Radiocarbon Age Calibration

Stuiver, M., et. al., 1998, *Radiocarbon* 40(3), p1041-1083

Mathematics

A Simplified Approach to Calibrating C14 Dates

Talma, A. S., Vogel, J. C., 1993, *Radiocarbon* 35(2), p317-322

Beta Analytic Inc.

¹ FERNANDES, Teresa Matos, Informação sobre os trabalhos de campo de antropologia biológica na Porta de Moura e Rua Miguel Bombada (Évora), 2000 – Relatório impresso.

Figura IX – Curva de calibração obtida no Beta Analytic Inc. para material osteológico humano da intervenção arqueológica na Praça do Giraldo, sondagem Santo Antão².

CALIBRATION OF RADIOCARBON AGE TO CALENDAR YEARS

(Variables: C13/C12=-18.9;lab. mult=1)

Laboratory number: **Beta-161011**

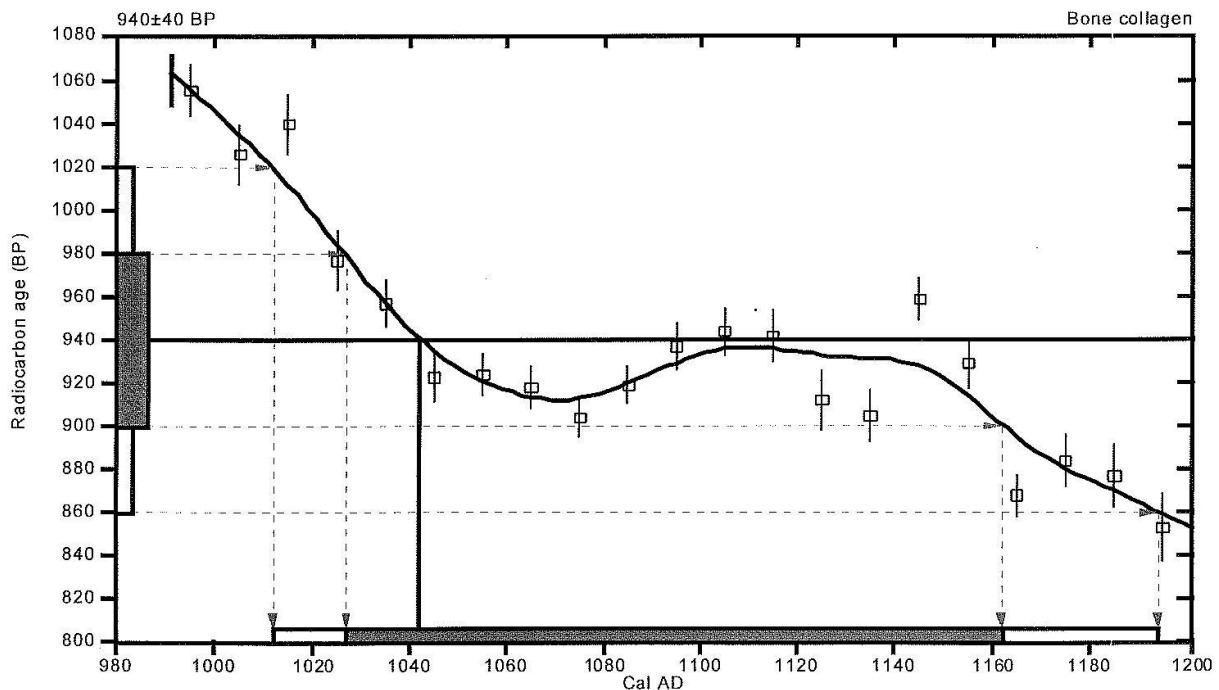
Conventional radiocarbon age: **940±40 BP**

2 Sigma calibrated result: Cal AD 1010 to 1190 (Cal BP 940 to 760)
(95% probability)

Intercept data

Intercept of radiocarbon age
with calibration curve: **Cal AD 1040 (Cal BP 910)**

1 Sigma calibrated result: Cal AD 1030 to 1160 (Cal BP 920 to 790)
(68% probability)



References:

Database used

Calibration Database

Editorial Comment

Stuiver, M., van der Plicht, H., 1998, Radiocarbon 40(3), pxii-xiii

INTCAL98 Radiocarbon Age Calibration

Stuiver, M., et. al., 1998, Radiocarbon 40(3), p1041-1083

Mathematics

A Simplified Approach to Calibrating C14 Dates

Talma, A. S., Vogel, J. C., 1993, Radiocarbon 35(2), p317-322

Beta Analytic Inc.

² FERNANDES, Teresa Matos, Informação sobre os trabalhos de campo de antropologia biológica na Praça do Giraldo, sondagem Santo Antão (Évora), 2000 – Relatório impresso.